

# 27<sup>ème</sup> Congrès de la Société



### de Kinésithérapie en Réanimation

17 janvier 2014

Paris

## Dyskinésie ciliaire primitive :

## physiopathologie et outils diagnostiques

Jean-François Papon

Service d'ORL et de Chirurgie Cervico-Faciale, CHU Kremlin-Bicêtre

INSERM U955, IMRB Créteil









### **Conflits d'intérêt**

• Intérêts financiers : néant

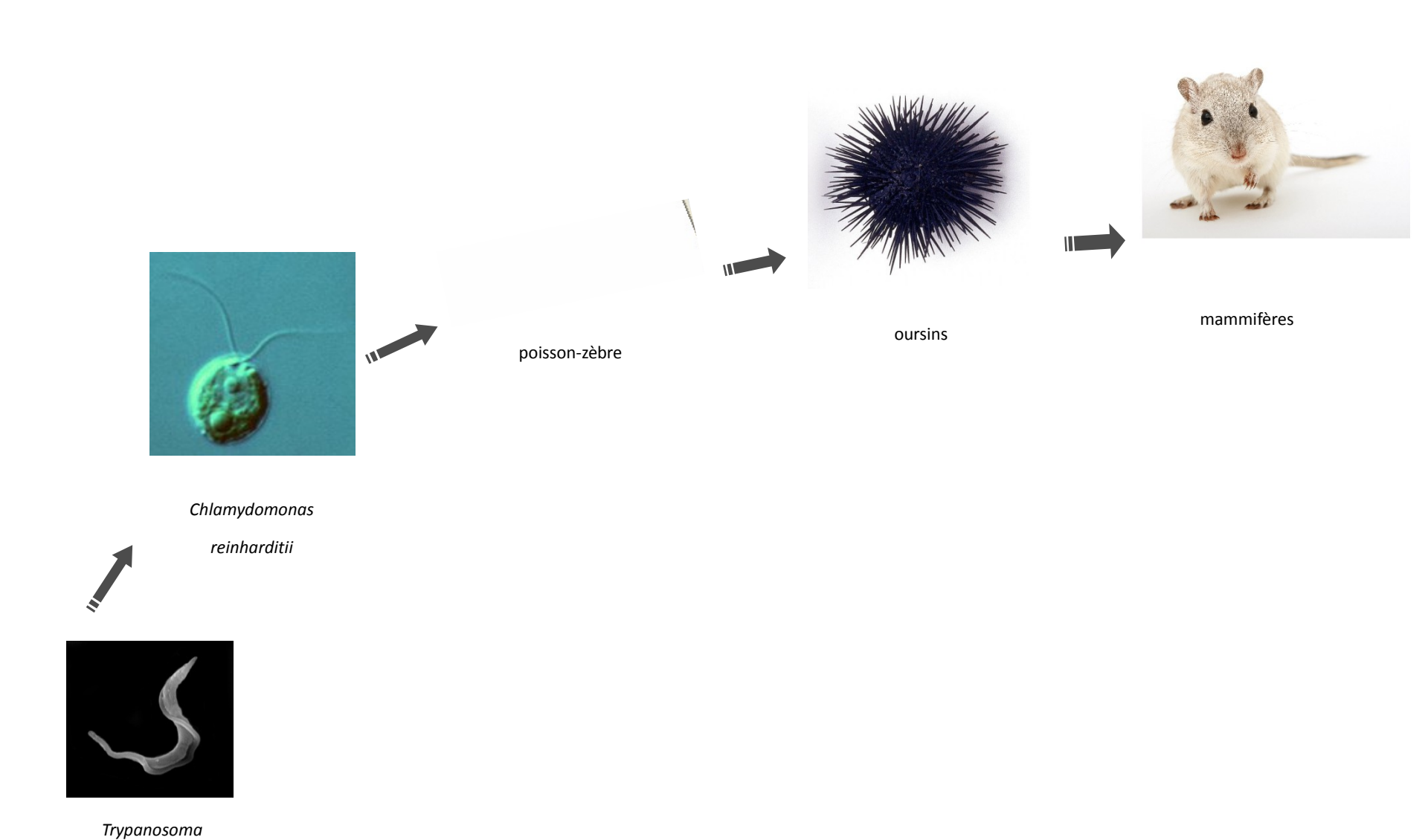
• Liens durables ou permanents : néant

• Interventions ponctuelles : néant

• Intérêts indirects : néant

### Les structures ciliées sont très conservées au cours de l'évolution

brucei



# Deux types de cils



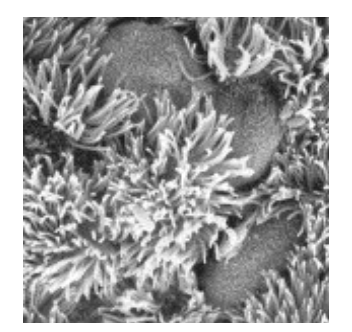
# Deux types de cils

### Cils mobiles & flagelles





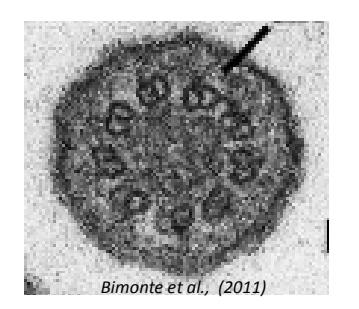
« 9+2 »



transport



Cils primaires

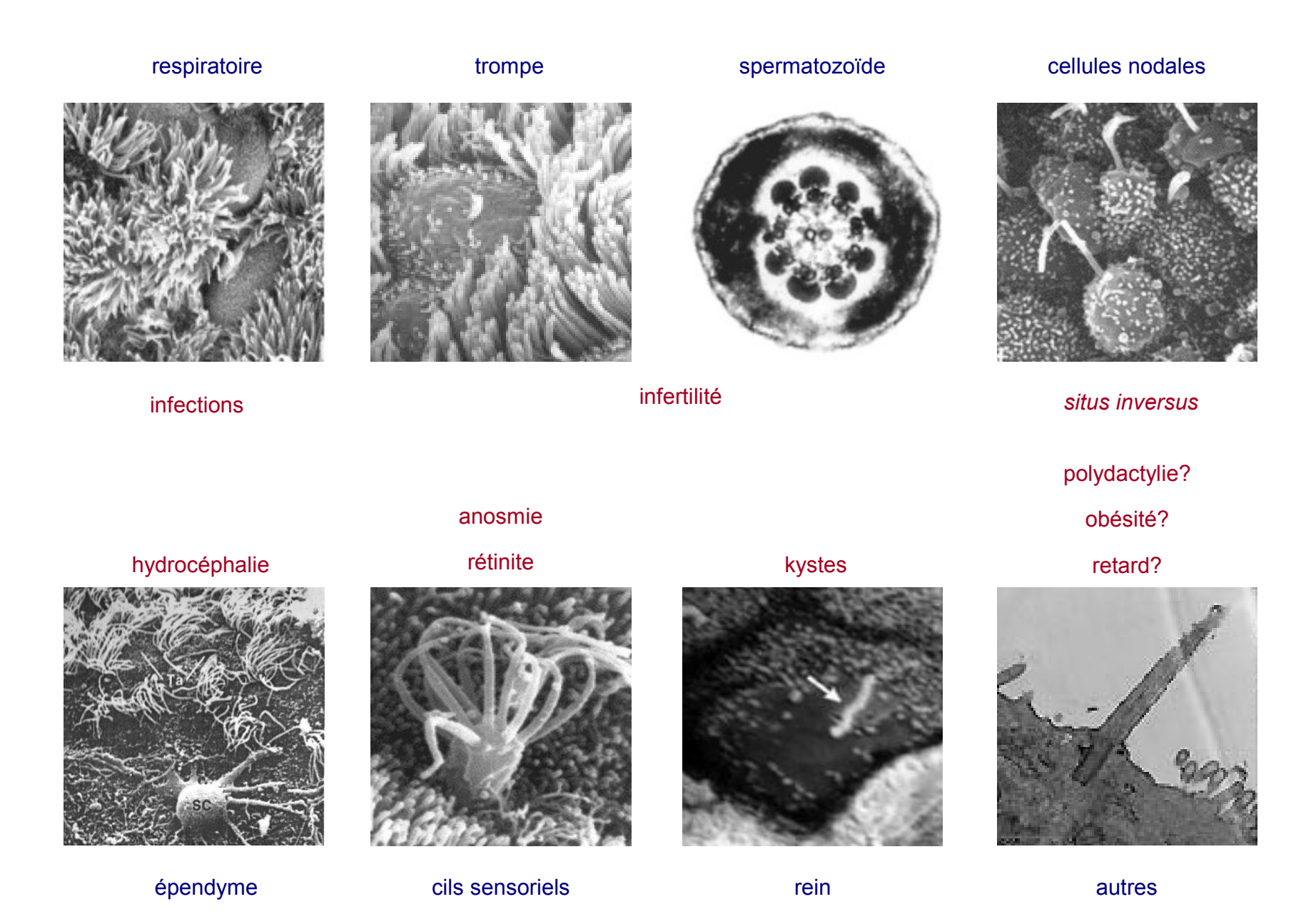


« 9+0 »

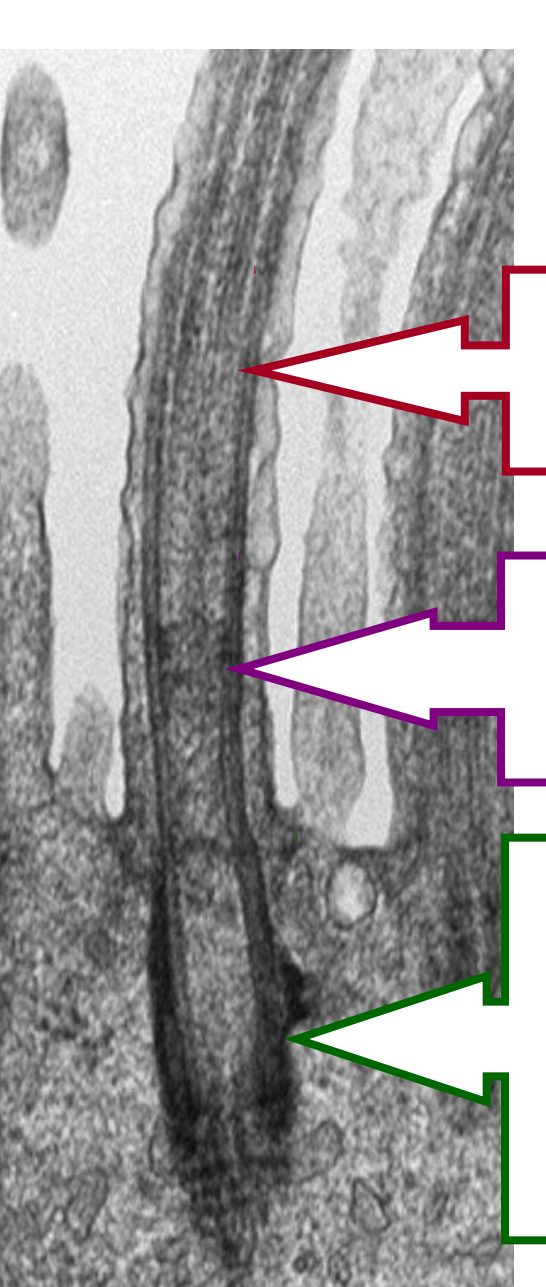


«antenne»

# Cils et pathologies



## Principales ciliopathies



Syndrome de Kartagener

Dyskinésies ciliaires primitives

Polykystose rénale Nephronophtisis

Syndrome de Bardet-Biedl

Syndrome de Meckel

Syndrome de Joubert

Syndrome de Senior-Loken

Syndrome oro facio digital

infections respiratoires

situs inversus/isomérisme

stérilité

rétinite pigmentaire

surdité

kystes reins, foie, pancreas

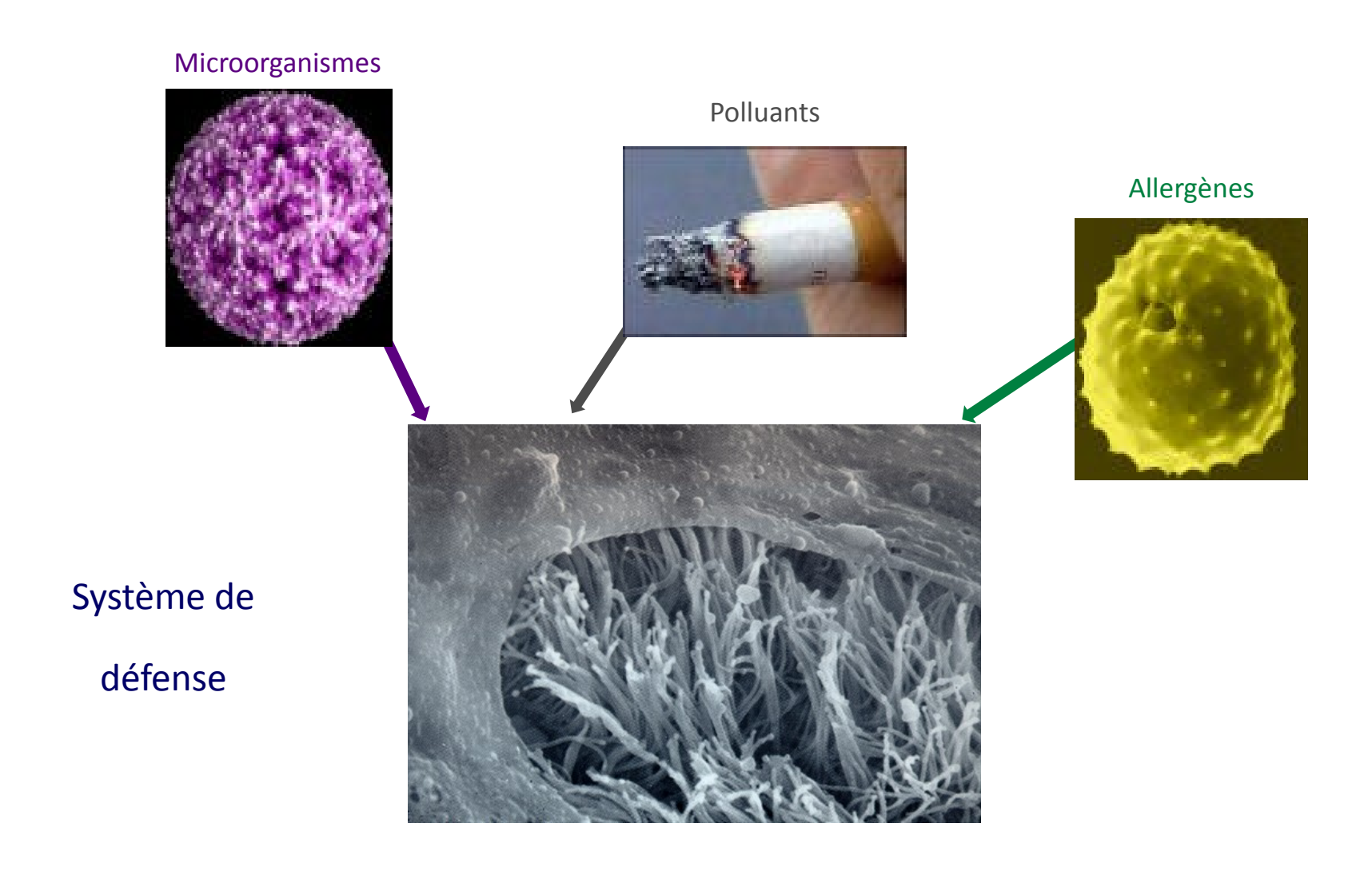
polydactylie

retard mental

agénésie du corps calleux

obésité

## Fonction des cils respiratoires : épuration muco-ciliaire



## Muqueuse respiratoire nasale

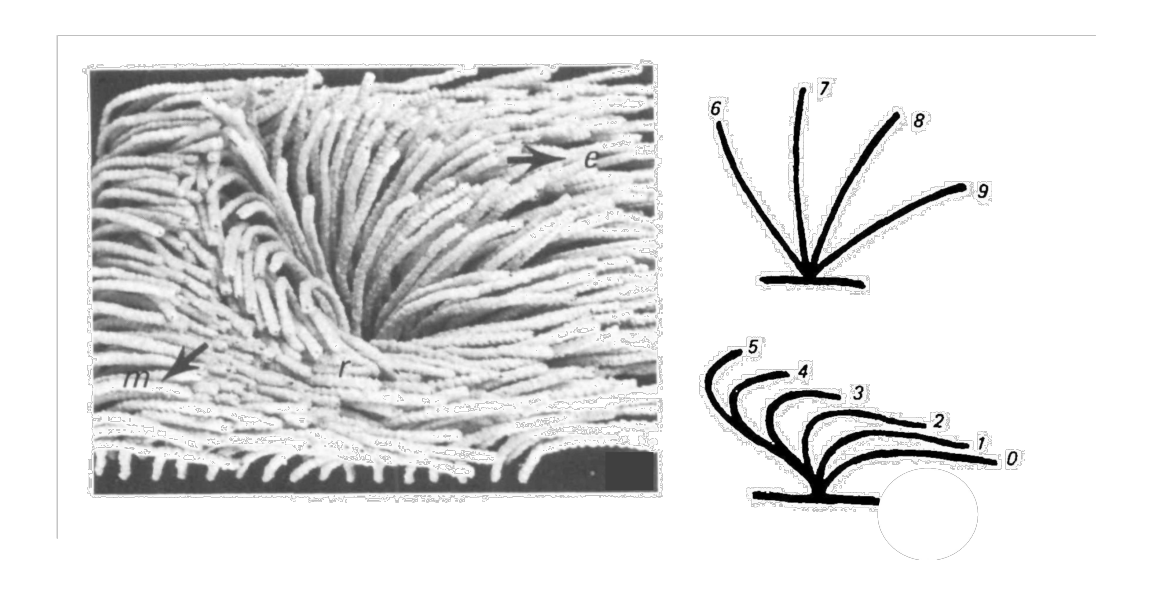
- Lamina propria
  - Tissu conjonctif
  - Gl. séromuqueuses
  - C. immunocompetentes
  - SN (autonome et sensitif)
  - Réseau vasculaire
- **Epithelium** 
  - Pseudostratifié cilié
  - Présence de PNN





- Les plus différenciées
- Les plus sensibles

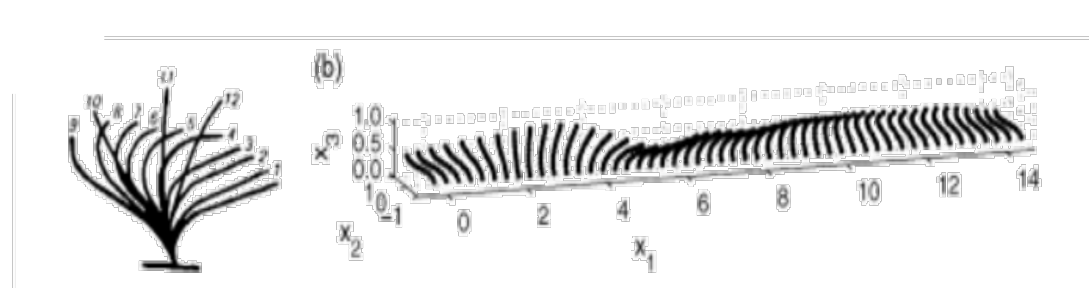
### Battement ciliaire : définition



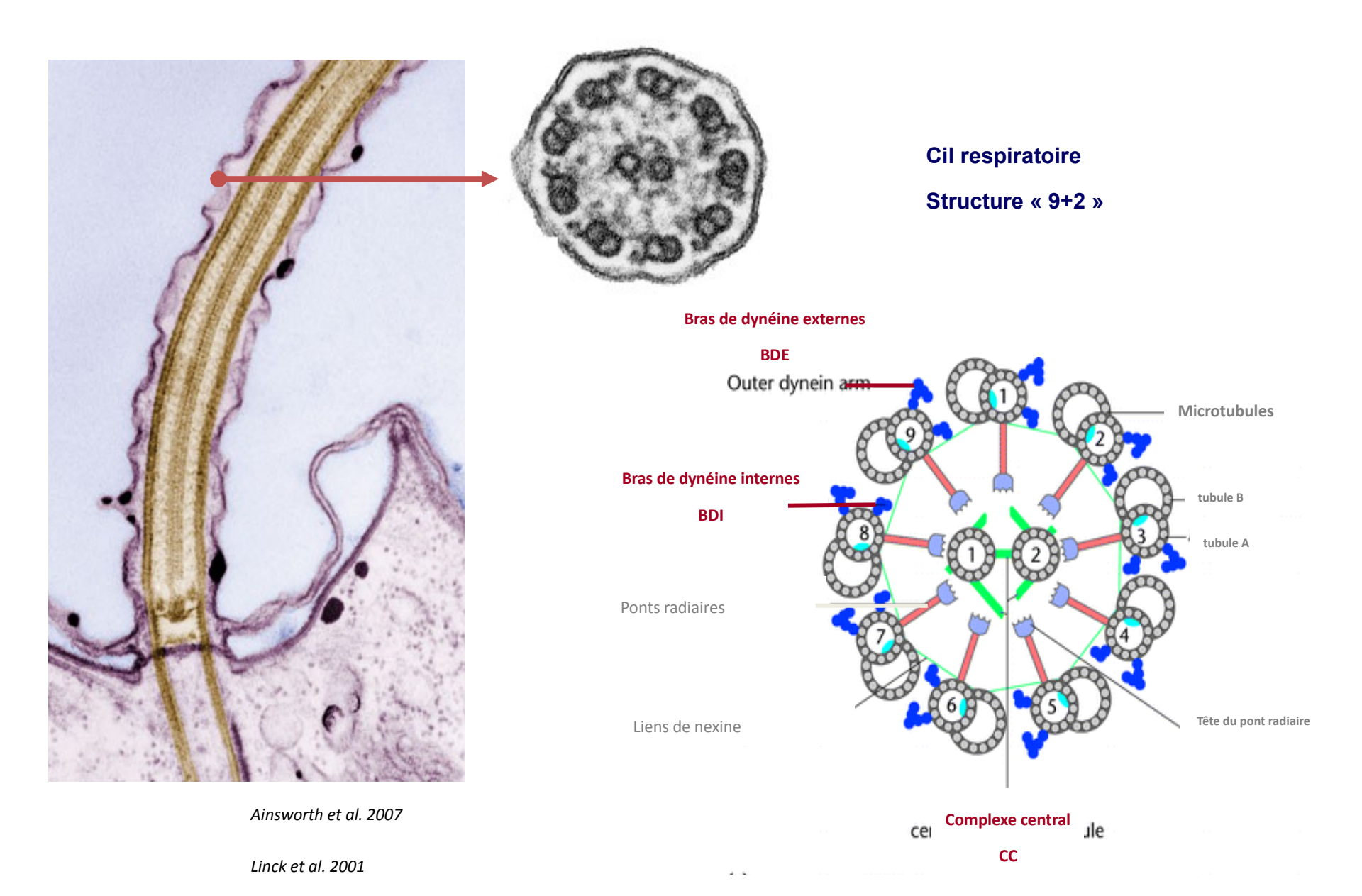
Mouvement permanent et périodique en 3D

Asymétrique

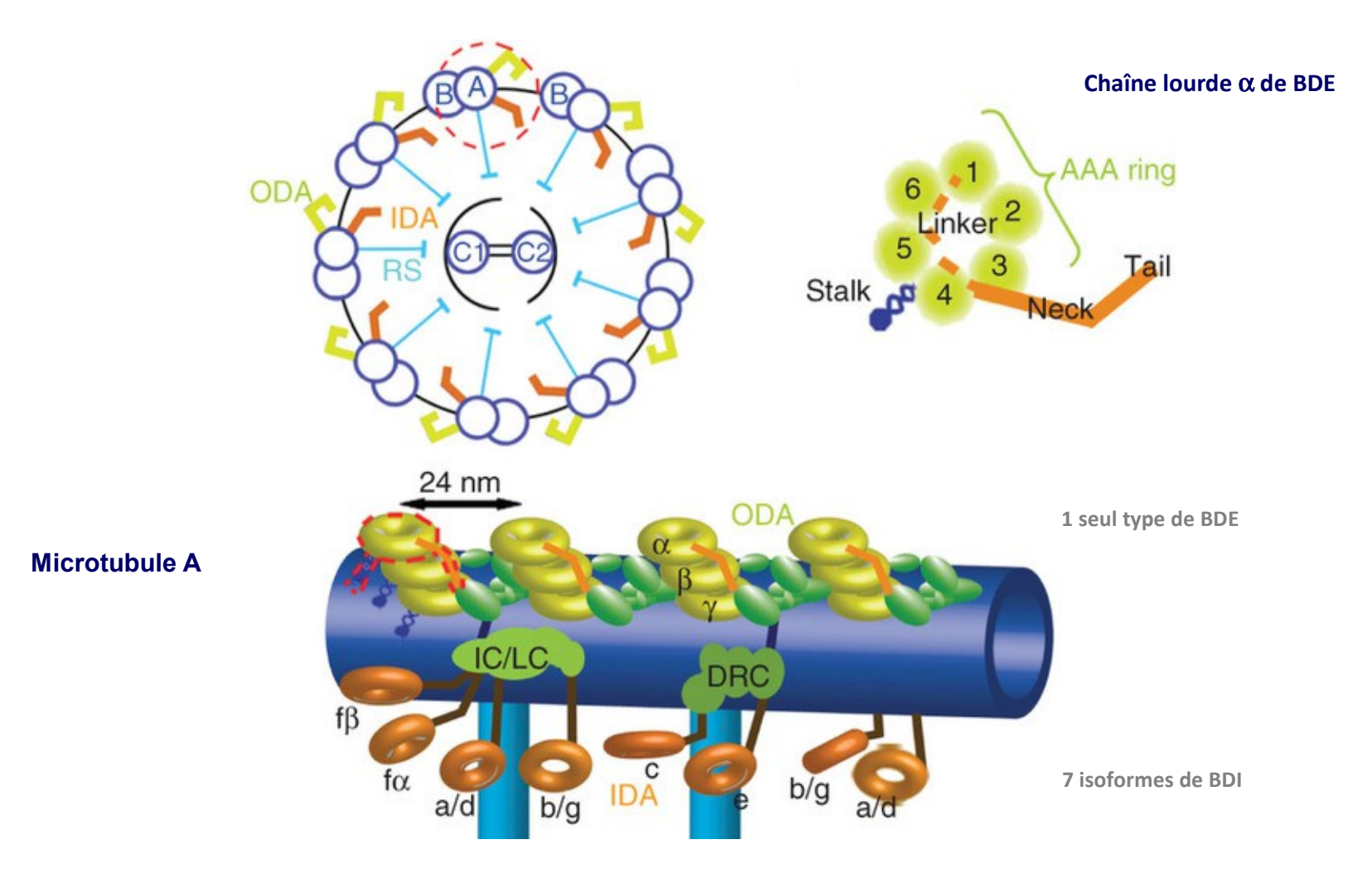
Onde métachrone



## Support du battement : axonème



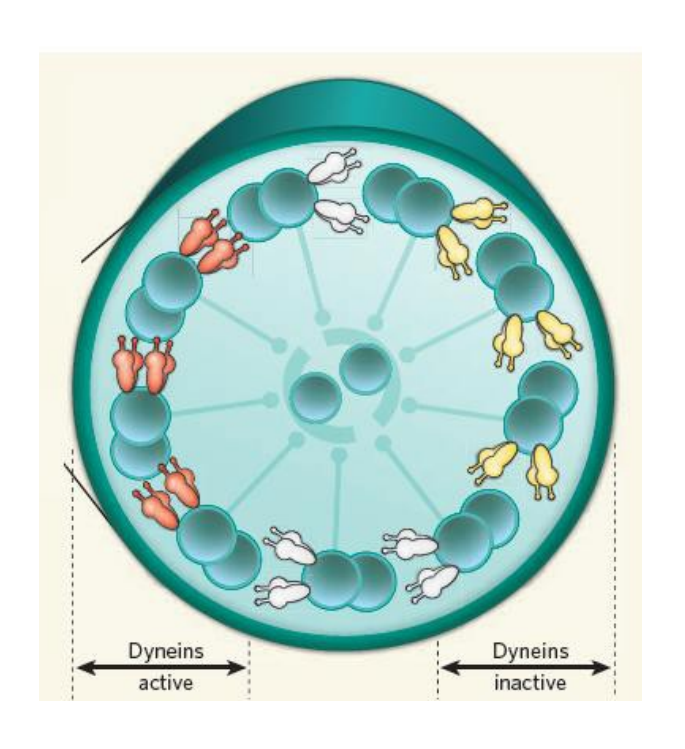
## Bras de dynéines



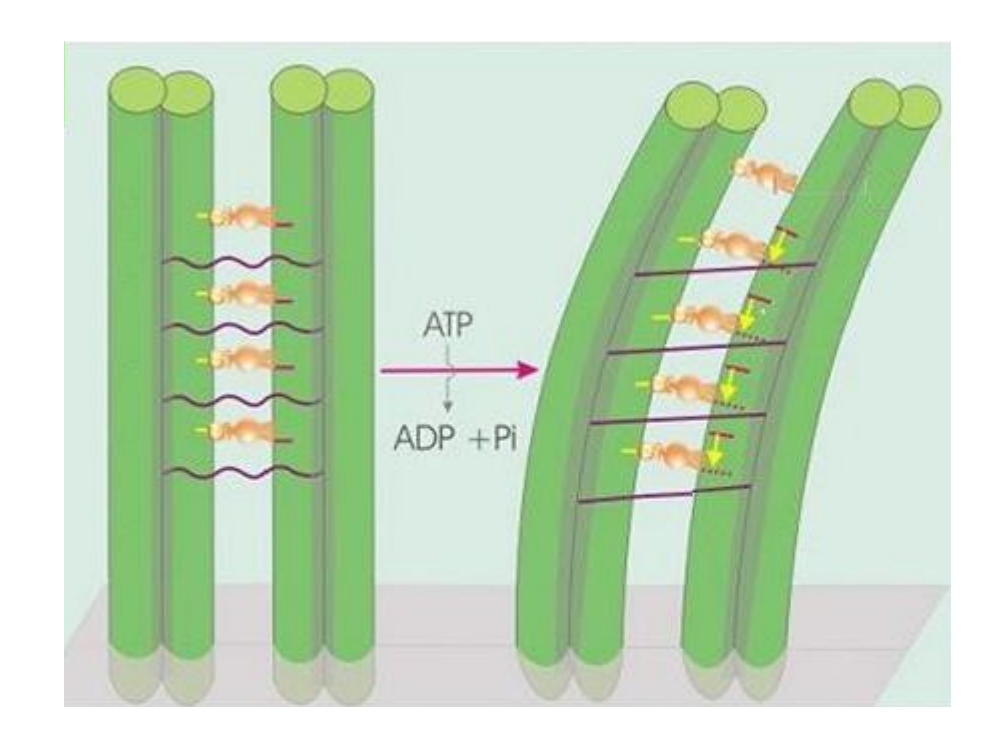
**Ponts radiaires** 

### Battement ciliaire: mécanismes

### **Activation des dynéines**



#### Inclinaison des microtubules



plan (CC)

**Battement** fréquence (BDE)

forme (BDI, CC)

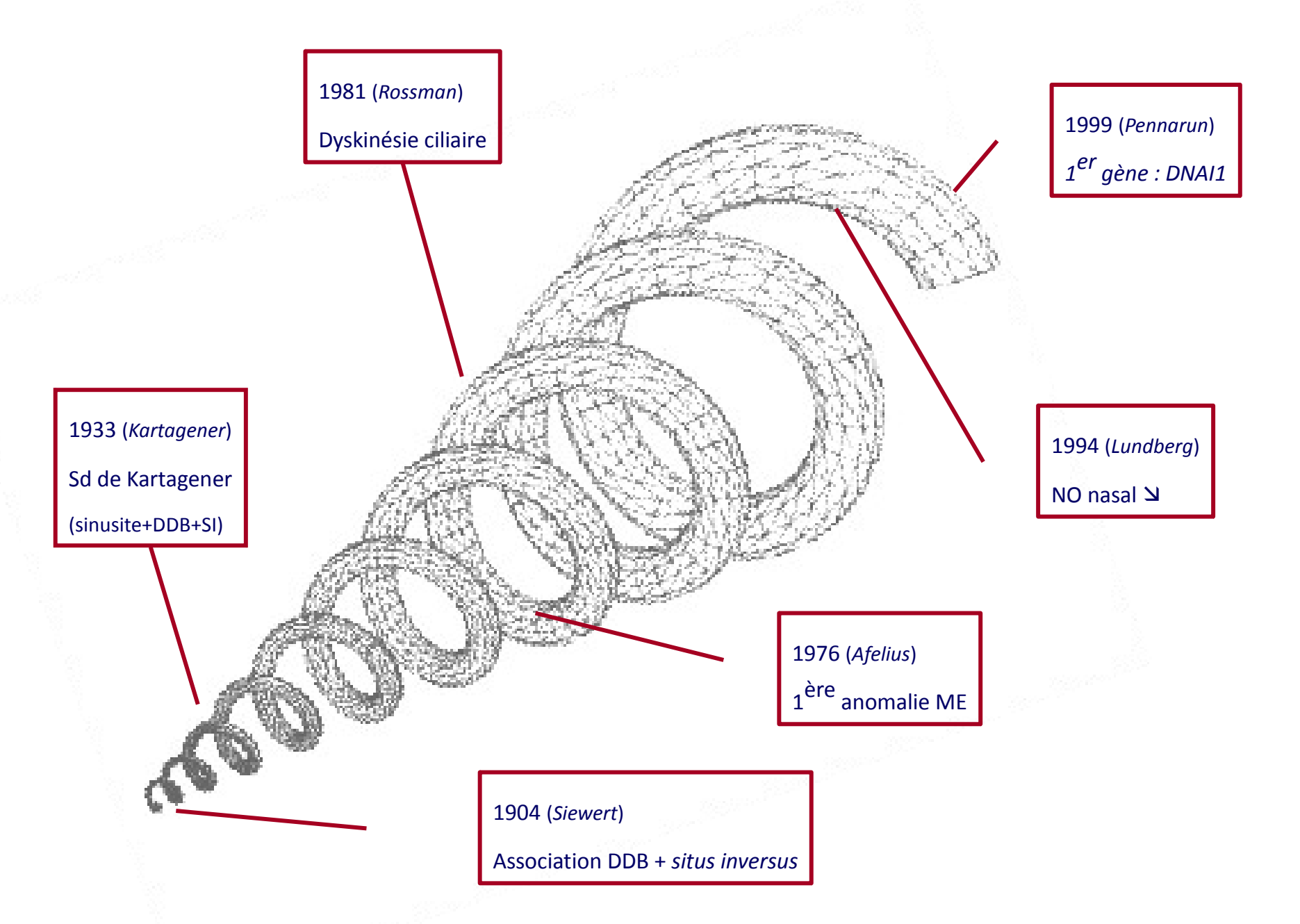
Mitchinson et al. 2010

Salathe et al. 2007

Brokaw et al. 1987-1994

Chilvers et al. 2003 Nonaka et al. 1998

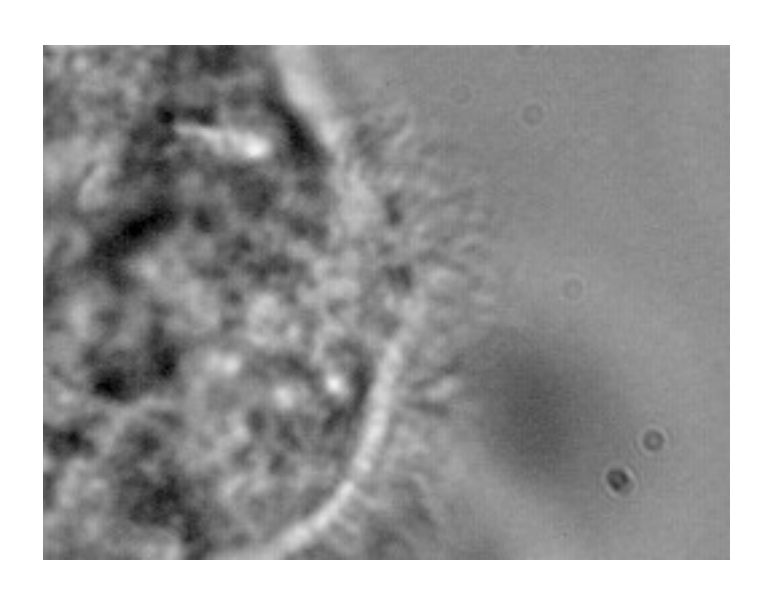
## Historique de la dyskinésie ciliaire primitive



# Dyskinésies ciliaires primitives (DCP)

- Première ciliopathie identifiée (Afzelius, 1976)
- Transmission autosomique récessive (1/16000)

### Défaut d'épuration mucociliaire





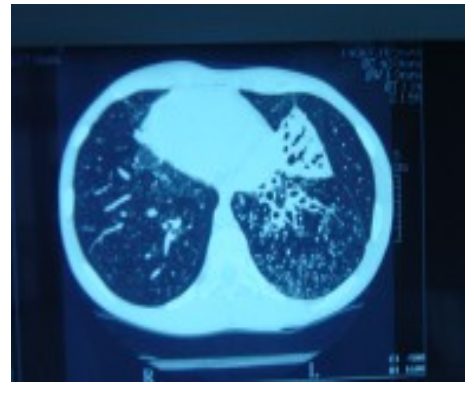
anomalie du battement ciliaire

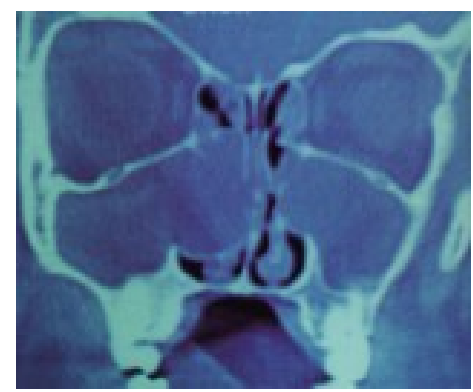
défaut de l'ultrastructure axonémale

# Signes cliniques évocateurs de DCP

- ✓ Début précoce
- ✓ Détresse respiratoire néonatale
- Consanguinité parentale
- Formes familiales (fratrie)
- Malposition viscérale
- ✓ Hypofertilité

#### syndrome sinopulmonaire





situs inversus (50%)

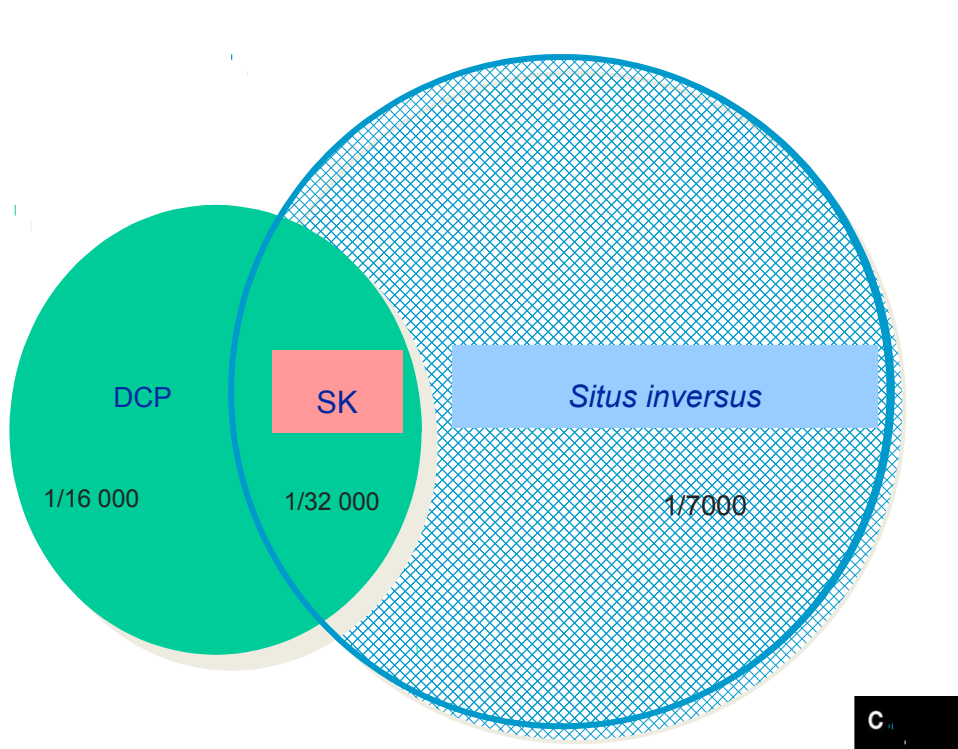


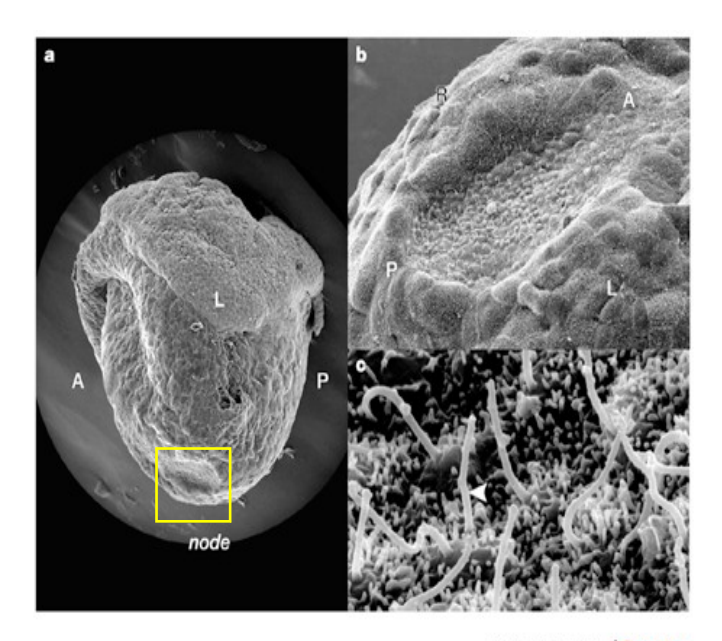
infertilité



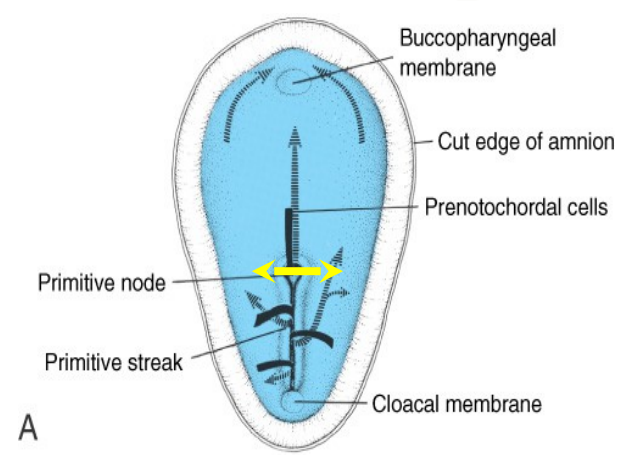
Noone PG et al., Am J Respir Crit Care Med 2004

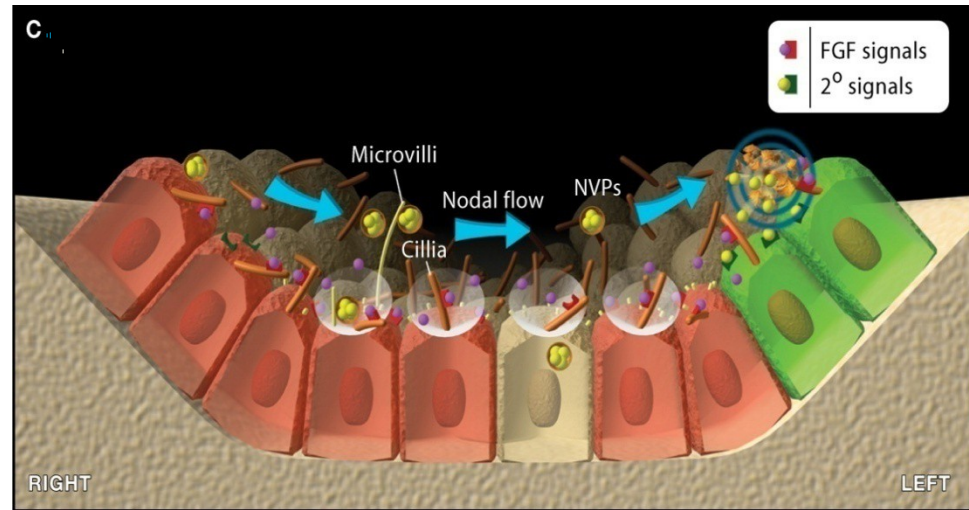
## Situs Inversus et DCP





Nature Reviews | Genetics



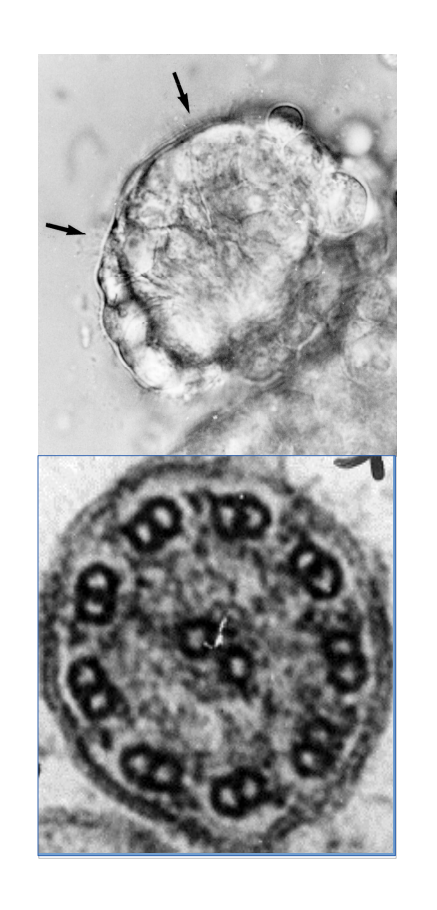


# Diagnostic paraclinique des DCP

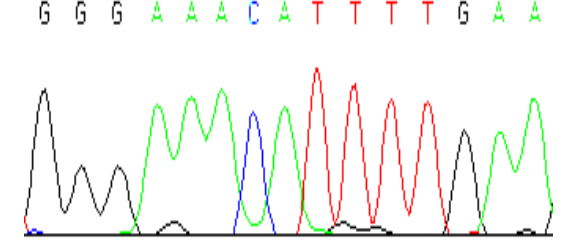
Débit nasal monoxyde d'azote (NO) Investigations ciliaires

Analyses génétiques

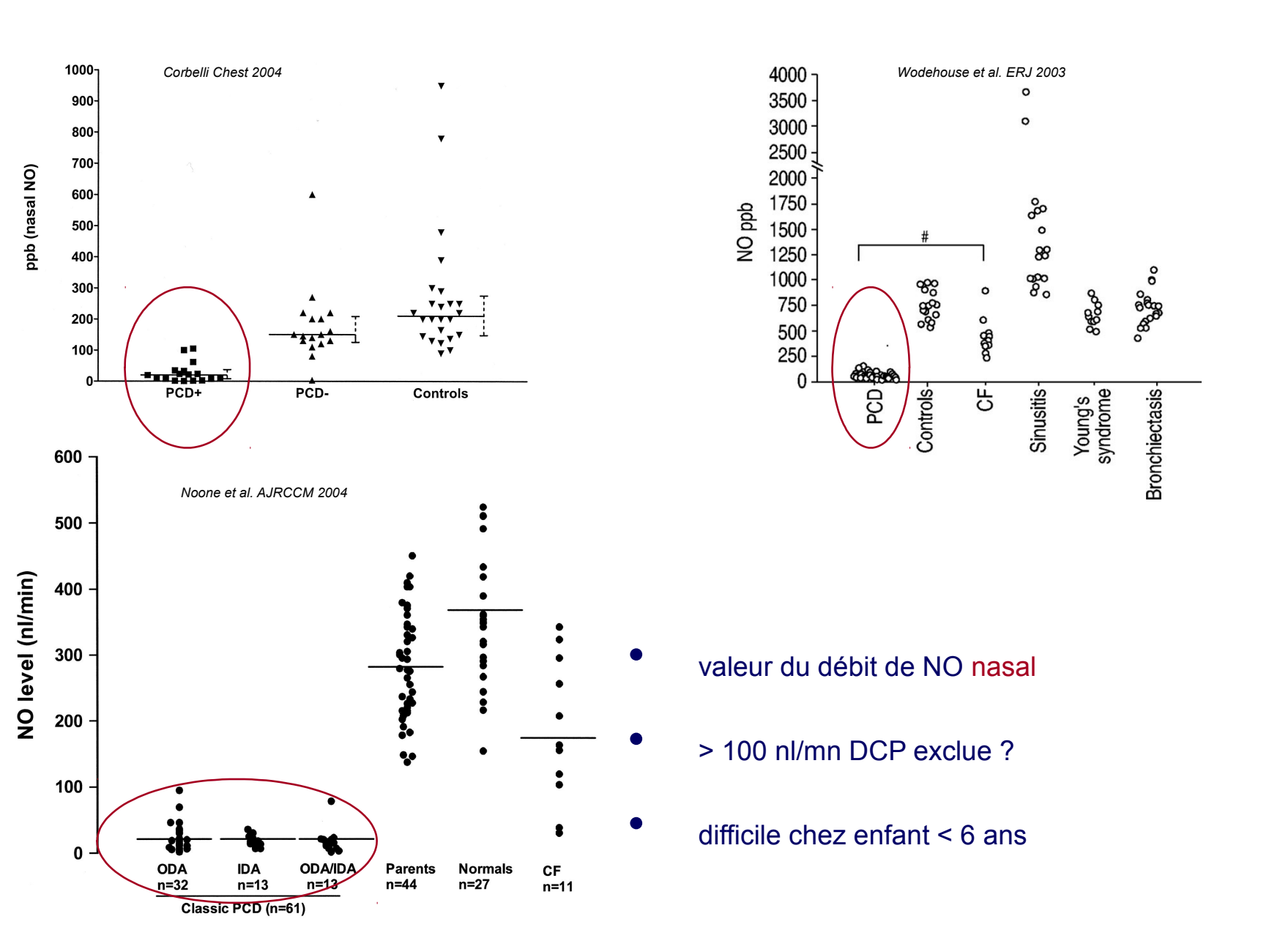








### Le débit nasal du NO est « effondré » dans la DCP



### Prélèvements ciliaires

- muqueuse des voies aériennes
- ✓ recueil par brossage, curetage, biopsie
- ✓ dans milieu de culture ou fixateur

## trachéo-bronchique

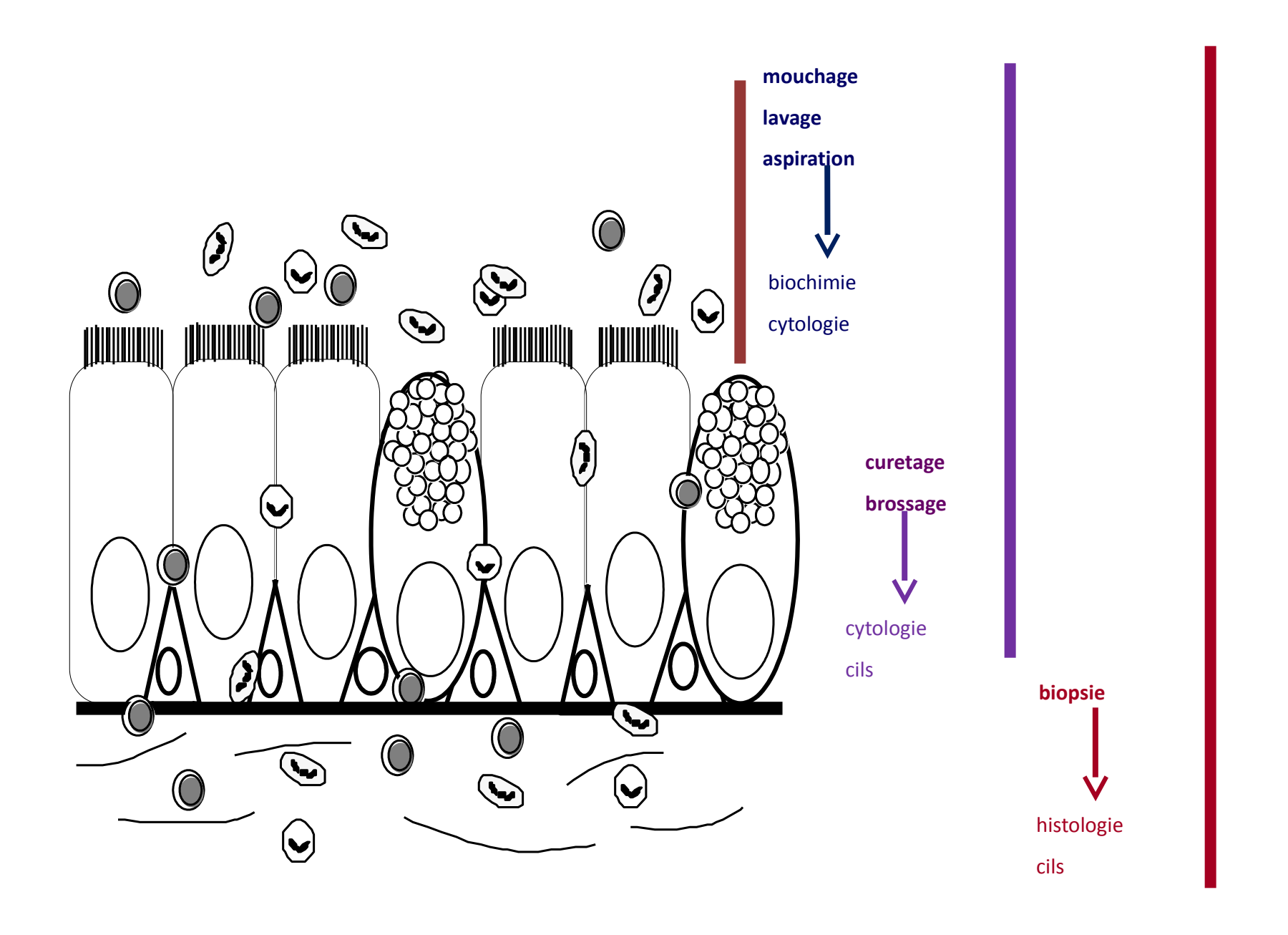
fibroscopie

éviter la carène

### nasal

endoscopie, microscope
région postérieure
cornet inférieur

## Trois types de prélèvements cytologiques



## Réalisation du prélèvement cytologique

### Brossage nasal: facile et peu invasif

- Brosse (ou écouvillon)
- Anesthésie locale: xylocaïne (+/- naphazoline)
- 1/3 moyen du cornet inférieur
- Rhinoscopie/endoscopie



# Analyse cytologique

### Analyse en microscopie optique

- Fixation sur lame
- Coloration MGG (parfois Papanicolaou)
- Richesse cellulaire:
  - O C. épithéliales
  - O *C. inflammatoires*
- Formule cytologique (200 cellules):
  - O *Neutrophiles*



O *Eosinophiles* 



C Lymphocytes



O Mastocytes



Coloration MGG, grossissement x1000

## Analyse du battement ciliaire

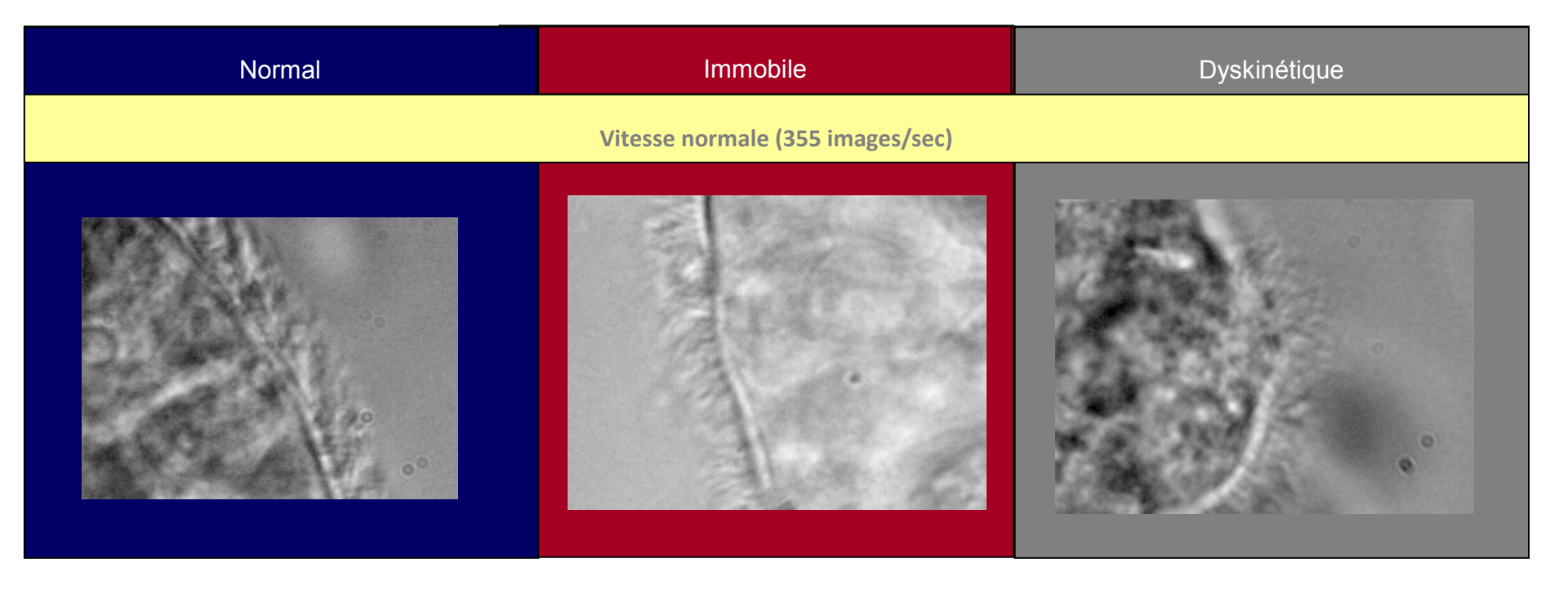
### Photomultiplicateur: fréquence de battement ciliaire (FBC)

→ mais certaines anomalies ont une FBC non altérée

### Vidéomicroscopie numérique à haute vitesse

→ permet une analyse qualitative du battement

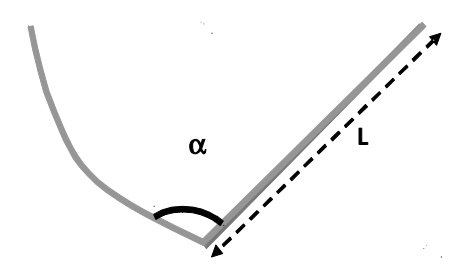
# Exemples de battements ciliaires



### Calcul de 12 paramètres objectifs

### A partir des mesures temporo-spatiales

#### 8 paramètres simples



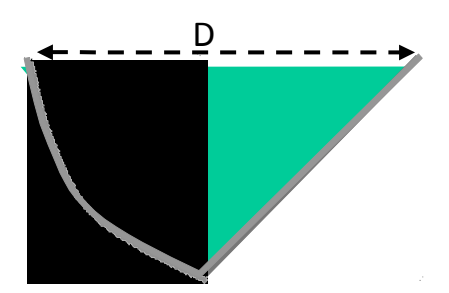
 $\textbf{Longueur du cil} \; (\mu m)$ 

Angle de battement (°)

Fréquences (Hz) (globale, phases active et passive)

Pauses (ms) (globale, aller et retour)

#### 4 paramètres complexes



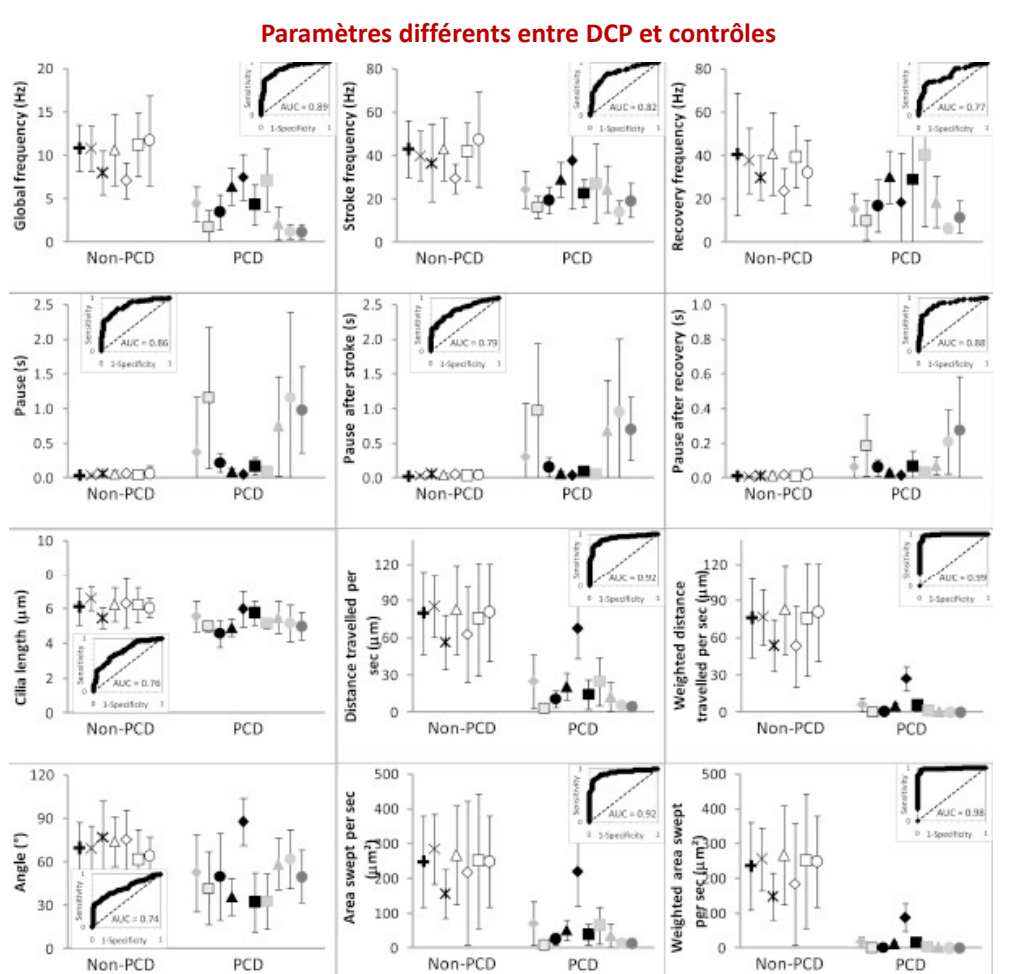
**Distance parcourue par sec** (µm)

sans et avec pondération par % de c. battantes

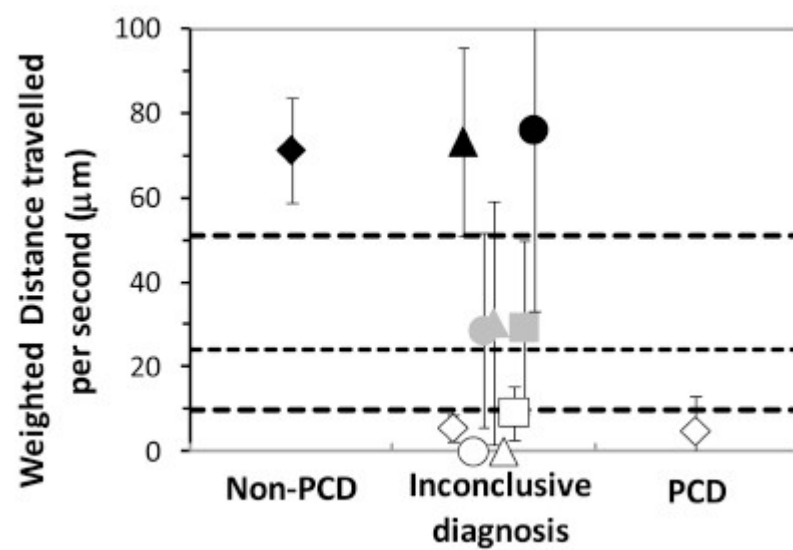
Surface couverte par sec (µm²)

sans et avec pondération par % de c. battantes

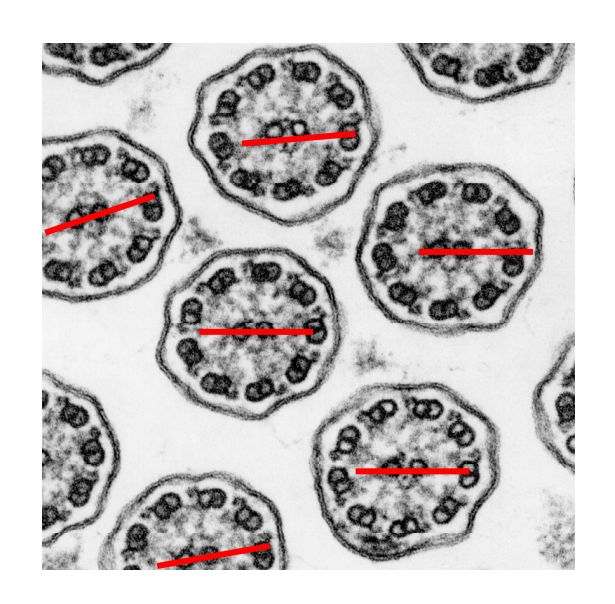
## Intérêt de la vidéomicroscopie à haute vitesse







## Analyse de l'ultrastructure

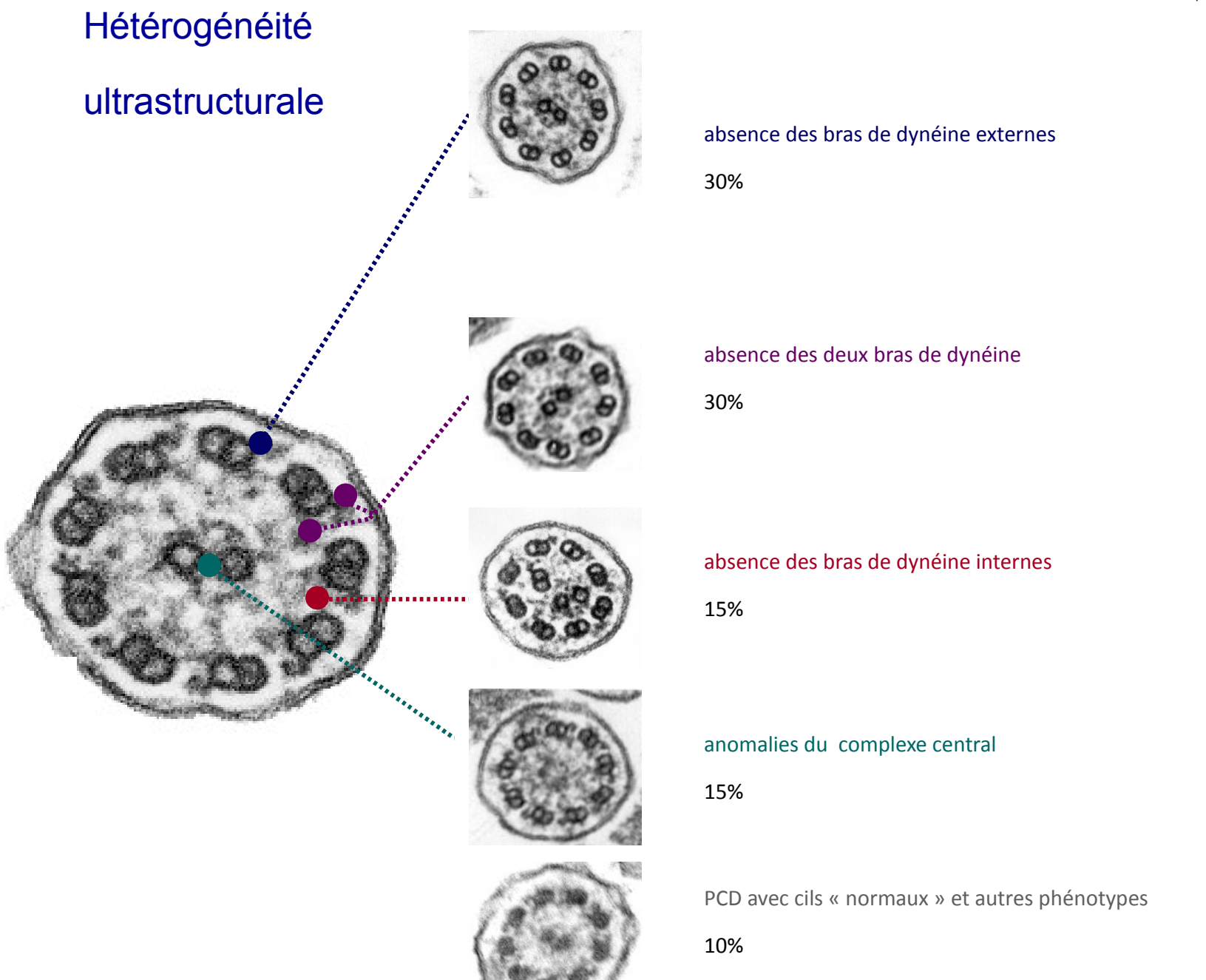


- ✓ quantitative (%)
- ✓ anomalie dominante
- ✓ orientation, extrêmité

>30 coupes axonémales de > 10 cellules ciliées

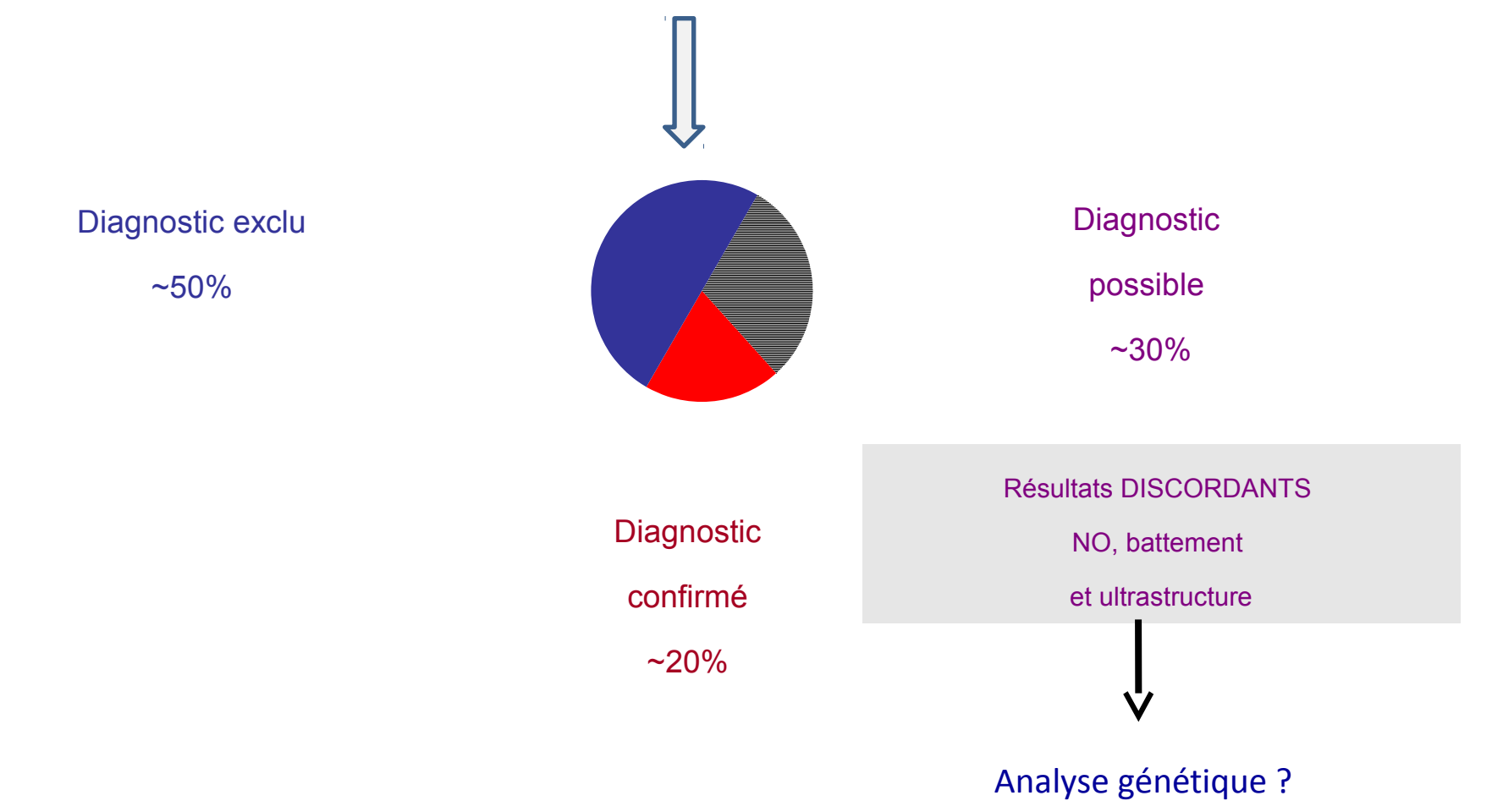
normal: < 15% cils anormaux

DCP: tous les cils portent la même anomalie

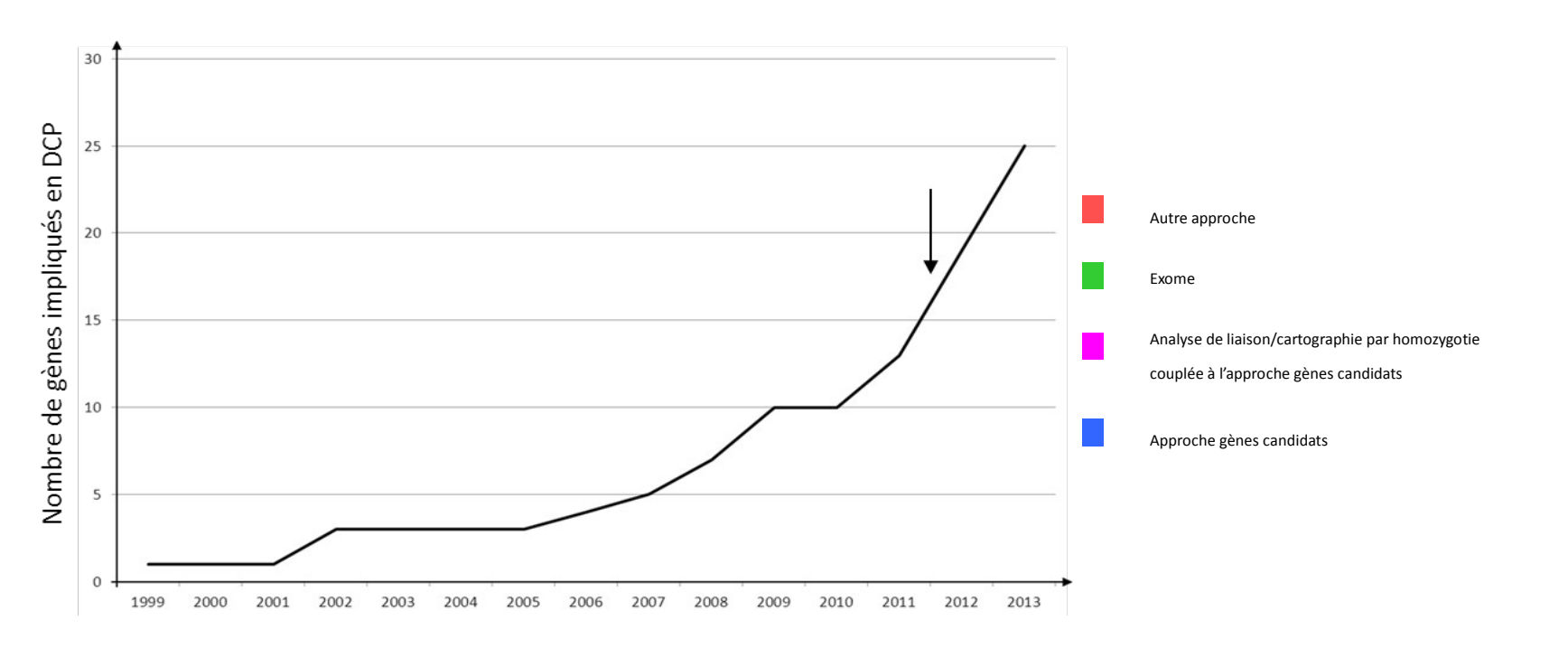


## Résultats des explorations ciliaires

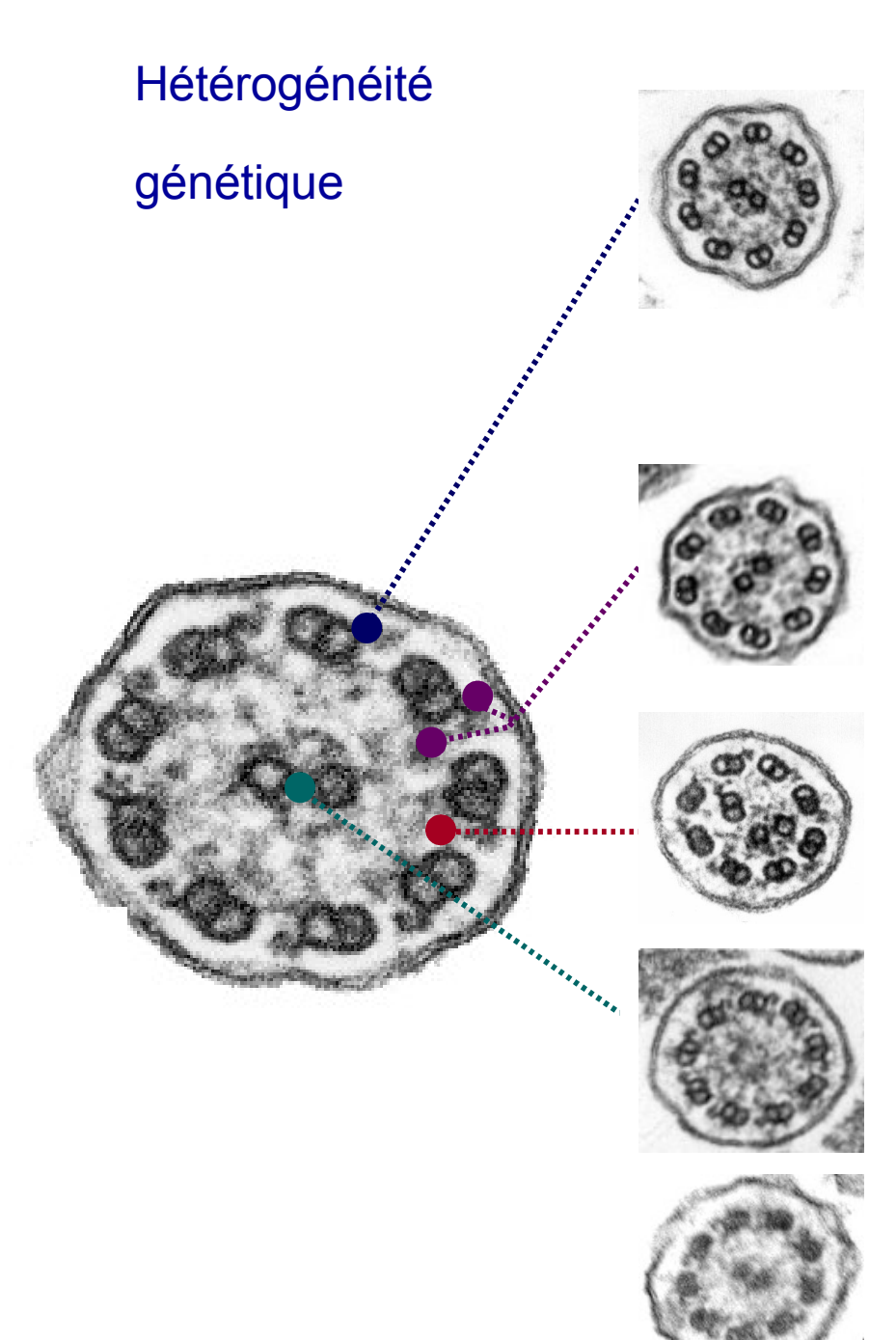
### ~300 prélèvements/an pour suspicion de DCP



## Recherche de gènes impliqués dans les DCP



- hausse exponentielle du nombre de gènes impliqués en DCP
- développement des techniques de séquençage haut débit
- modification de la stratégie de diagnostic et de recherche



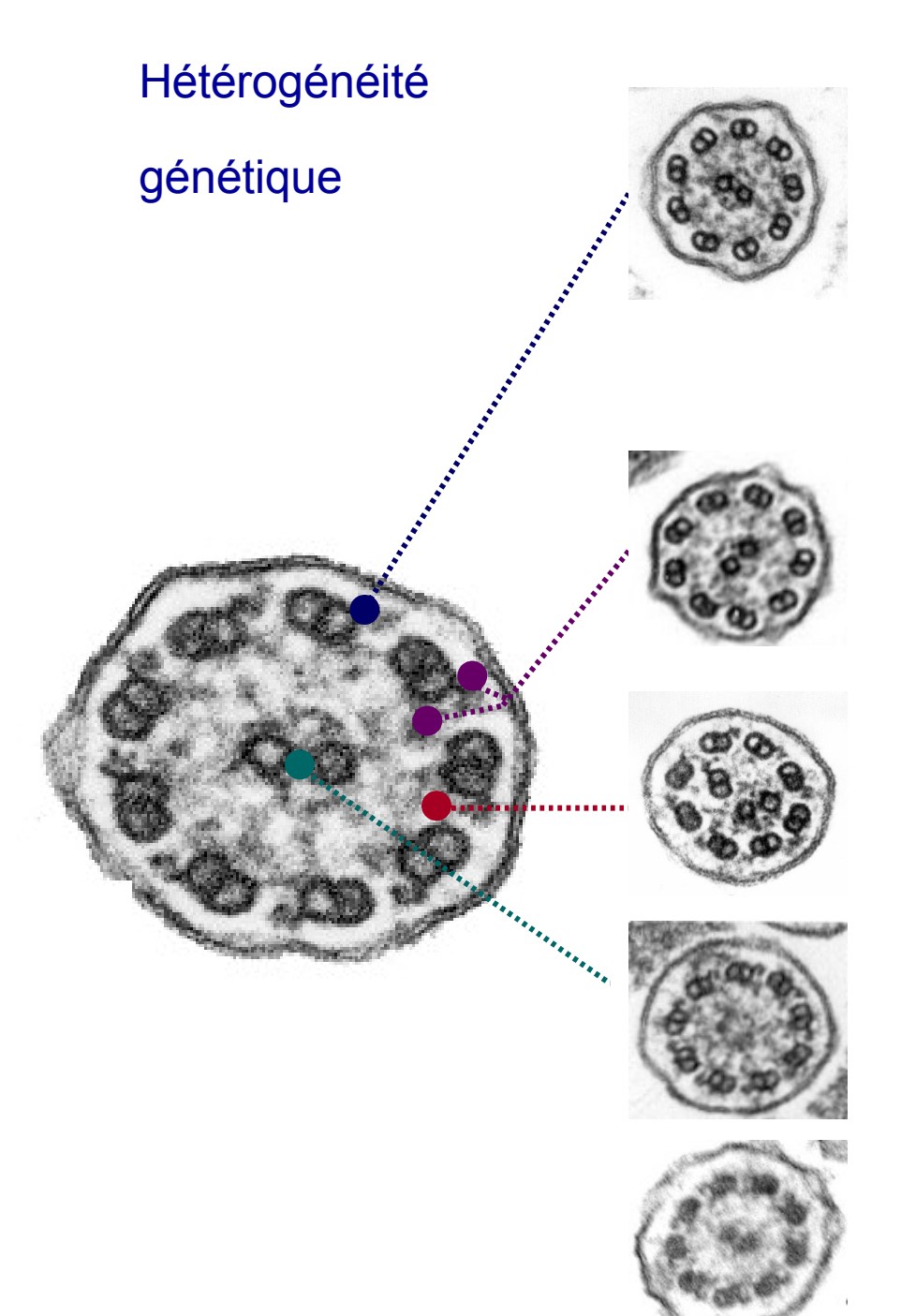
DNAH5 Olbrich et al., Nat. Genet. 2002 DNAI2 Loges et al., Am. J. Hum. Genet. 2008 TXNDC3 Duriez et al., PNAS, 2007 DNAL1 Mazor et al., Am. J. Hum. Genet. 2011 CCDC114 Onoufriadis et al., Am. J. Hum. Genet. 2012 Knowles et al., Am. J. Hum. Genet. 2012 ARMC4 Hjeij et al., Am. J. Hum. Genet. 2013 DNAAF1 Duquesnoy et al., Am. J. Hum. Genet. 2009 DNAAF2 Omran et al., Nature, 2008 RPGR Moore et al., J. Med. Genet. 2006 DNAAF3 Mitchison et al., Nat.Genet. 2012 CCDC103 Panizzi et al., Nat. Genet. 2012 HEATR2 Harani et al., Am. J. Hum. Genet. 2012 LRRC6 Kott et al., Am. J. Hum. Genet. 2012 DYX1C1 Tarkar et al., Nat. Genet. 2013 SPAG1 Knowles et al., Am. J. Hum. Genet. 2013 ZMYND10 Moore et al., Am. J. Hum. Genet. 2013 Zariwala et al., Am. J. Hum. Genet. 2013 C21orf59 Austin-Tse et al., Am. J. Hum. Genet. 2013 CCDC39 Merveille et al., Nature Genetics, 2011 CCDC40 Becker-Heck et al., Nature Genetics, 2011 RSPH4A Castelman et al., Am. J. Hum. Genet. 2009 RSPH9 **HYDIN** Olbrich et al., Am. J. Hum. Genet., 2012 RSPH1 Kott et al., Am. J. Hum. Genet. , 2013 DNAH11 Bartoloni et al., PNAS, 2002 DRC1 Wirschell et al., Nature Genetics, 2013

Horani et al., PLoS One, 2013

Pennarun et al., Am. J. Hum. Genet. 1999

DNAI1

CCDC65



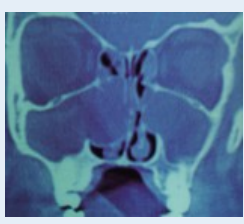
DNAI1	Penno
DNAH5	Olbric
DNAI2	Loges
TXNDC3	Duriez
DNAL1	Mazo
CCDC114	Onouj
	Know
ARMC4	Нјеіј є
DNAAF1	Duque
DNAAF2	Omra
RPGR	Moore
DNAAF3	Mitch
CCDC103	Panizz
HEATR2*	Haran
LRRC6	Kott e
DYX1C1	Tarkaı
SPAG1	Know
ZMYND10	Moore Zariwe
C21orf59	Austin
CCDC39	Merv
CCDC40	Becke

RSPH4A Caste
RSPH9
HYDIN Olbric
RSPH1 Kott

DNAH11 Barto DRC1 Wirst CCDC65 Hora Pour >50% des patients, le gène causal reste à identifier.

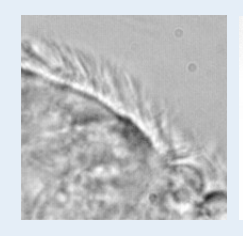
#### Diagnostic de DCP







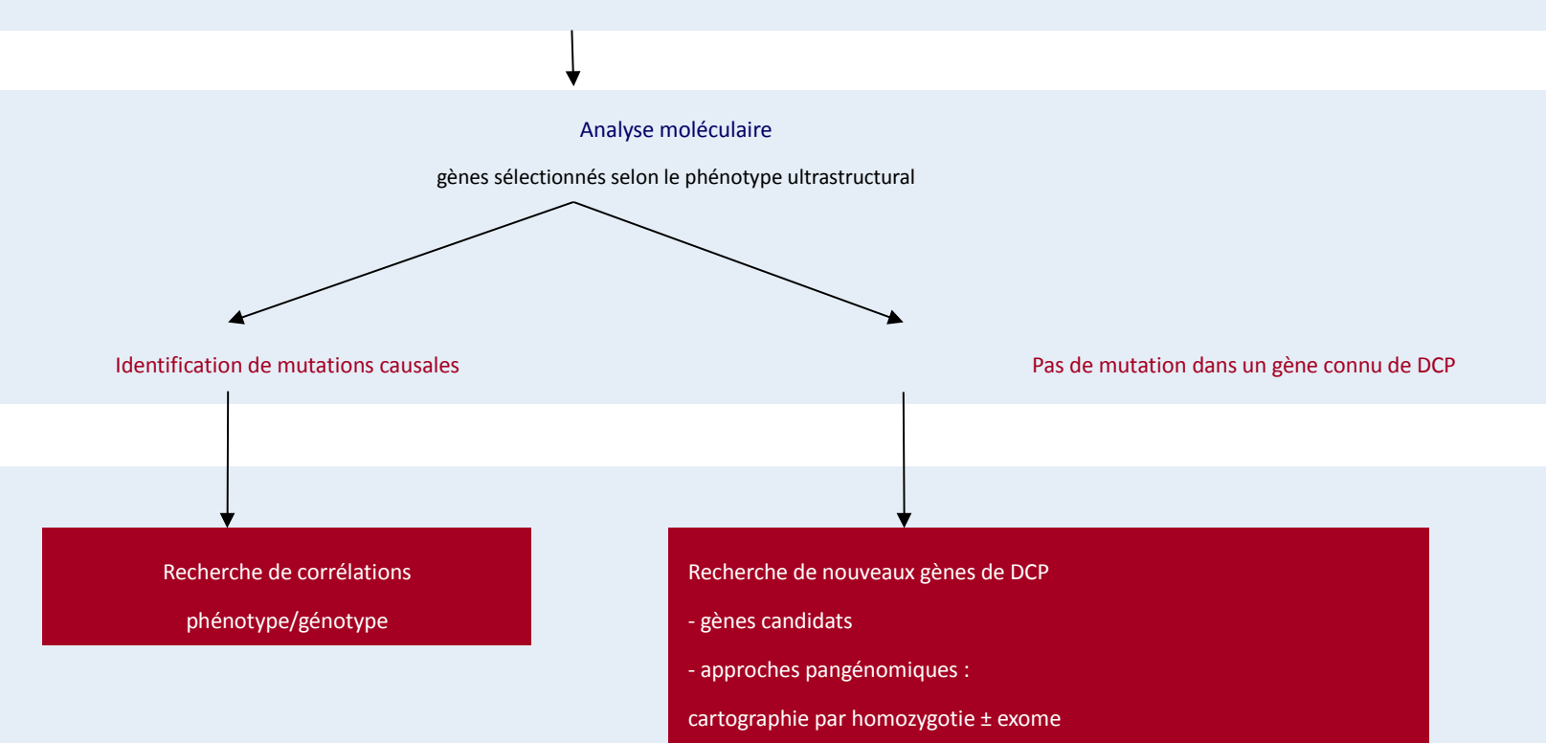






Syndrome sinopulmonaire, mesure du débit nasal de monoxyde d'azote (NO)

explorations ciliaires (battement et ultrastructure)



### Remerciements



- PCD patient associations
- U.955, Equipe 13 (Mondor, Créteil)
- D. Isabey et B. Louis
- U.933 (Trousseau, Paris)
- S. Amselem et E. Escudier



#### Service d'histologie Intercommunal (Créteil)

I. Abd El Samad et A.M. Vojtek

#### Services d'ORL

- Intercommunal and Mondor (Créteil)
- A. Coste
- Trousseau-Necker (Paris)
- N. Garabédian et G. Roger<sup>†</sup>

#### Services de pneumologie

- Intercommunal (Créteil)
- B. Housset et L. Bassinet
- Trousseau (Paris)
- A. Clément et A. Tamalet
- Bichat (Paris)
- B. Crestani